

# レーザー誘起蛍光法を用いた $\text{CF}_4$ 放電プラズマ中の $\text{CF}_2$ ラジカルの拡散係数の測定

高山 大輔\*・清水 哲也\*・麻生 義典\*\*  
後藤 みき\*\*\*・荒井 俊彦\*\*\*

Measurements of Diffusion Coefficient of  $\text{CF}_2$  Radical in  $\text{CF}_4$  Discharge Plasma Using Laser Induced Fluorescence

Daisuke TAKAYAMA, Tetsuya SHIMIZU, Yoshinori ASOH\*,  
Miki Goto and Toshihiko ARAI

## Abstract

Laser-induced fluorescence has been used to measure the  $\text{CF}_2$  radical ground-state densities after extinction of DC pulsed  $\text{CF}_4$  discharge plasma. From the measurement, the  $\text{CF}_2$  radical was shown to be removed mainly by a diffusion process. Its diffusion coefficient was found to be  $D = 65 \text{ cm}^2 \cdot \text{Torr} \cdot \text{s}^{-1}$  in  $\text{CF}_4$  at room temperature.

## 1. まえがき

プラズマエッティングは、F系ガスやCl系ガスを放電により解離してラジカルやイオンを生成し、これらを固体基板と反応させ、揮発性の反応生成物を生じて気化させるものである。このようなドライエッティングは半導体集積回路の微細加工に広く用いられている。また、 $\text{CF}_4$ ガスなどに  $\text{O}_2$  または  $\text{H}_2$  を添加すると Si と  $\text{SiO}_2$  とのエッティング速度が異なり、エッティングの選択性を与えることが知られている<sup>1)</sup>。

半導体エッティング用プラズマ中には、荷電粒子に加えて多くの中性ラジカルが存在し、さらに固体表面も反応に関与するため、系全体がきわめて複雑になっている。 $\text{CF}_4$  プラズマ中のエッティングの種々のラジカルの寄与を評価するため、そしてエッティング機構を定量的に解明するためには、 $\text{CF}_4$  プラズマ中における  $\text{CF}$ 、 $\text{CF}_2$ 、 $\text{CF}_3$  ラジカルの密度や拡散係数、反応速度定数などの基礎的物理量の情報を知る必要がある。

初期のころは発光分光法による発光ラジカルの計測が行なわれてきた<sup>2~6)</sup>。その後、紫外～可視色素レーザーで電子基底準位にある中性ラジカルを電子励起準位に励起し、その後放射される蛍光を観測してラジカルの密度を求めるレーザー誘起蛍光法(LIF)が使用されるようになった<sup>7)</sup>。このLIFを用いて  $\text{CF}$ 、 $\text{CF}_2$  ラジカルの振る舞いが比較的詳しく研究されている<sup>7~13)</sup>。エッティング機構解明において重要な物理量の1つである拡散係数の測定には Ar 中の  $\text{CF}_2$  ラジカル<sup>14)</sup> や  $\text{CF}_4$  中および  $\text{H}_2$  中の CF ラジカル<sup>15)</sup> などについての報告があるが、 $\text{CF}_4$  中での  $\text{CF}_2$  ラジカルについては、まだ報告例がない。

本研究では、LIFを用いて  $\text{CF}_4$  プラズマのパルス励起後の  $\text{CF}_2$  ラジカル密度の時間変化を測定し、その解析から  $\text{CF}_4$  中の  $\text{CF}_2$  ラジカルの拡散係数の値を決定した。これらについて述べる。

## 2. 実験装置及び測定方法

Fig. 1 は LIF による  $\text{CF}_2$  ラジカル測定系のプロック図を示している。放電管は直径 3 cm、長さ 20 cm のステンレス製の円筒カソードと 2 本のタンクステン

1993年9月25日受理

\* 電気工学科専攻大学院生

\*\* ウシオ電機㈱

\*\*\* 電気工学科

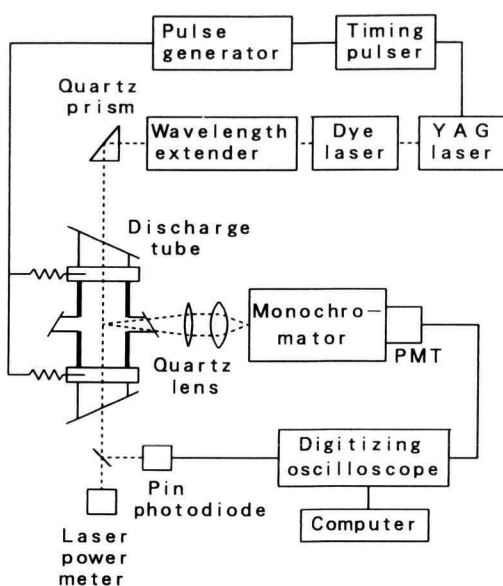


Fig. 1. Schematic diagram of experimental arrangement.

ノードピン（直径 1.5 mm）からなるホローカソード型放電管である。放電管の軸上にレーザー光を入射できるようにブリュースタ角の石英窓が放電管の両端に取り付けてある。

放電管内は最初ターボ分子ポンプを用いて真空間度約  $10^{-7}$  Torr まで排気した後、管内に  $\text{CF}_4$  ガスを導入し

た。 $\text{CF}_4$  ガスの流量はマスフローコントローラを用い一定に制御され、圧力はキャパシタンスマノメータで測定された。圧力の調整はターボ分子ポンプの主バルブを用いて行った。放電の励起には、繰り返し周波数 10 Hz、パルス幅 0.5 ms、立上がり、立下がり時間がそれぞれ 1  $\mu\text{s}$  の方形波パルスを用いた。タイミングパルスにはデジタルディレイジェネレータ (BNC7010) を用いて放電とレーザー光とのタイミングを正確に制御した。

LIF の測定に用いたレーザー励起光は、波長延長装置 (WEX-1) 付  $\text{Nd}^{3+}$ :YAG レーザーポンピング色素レーザー (Quanta Ray DCR-3G/PDL-2) で得られた。レーザーパルスの繰り返し周波数は 10 Hz である。蛍光 (LIF 信号) は放電管の管軸に対し直角方向の放射を 2 枚の石英レンズでモノクロメータ (Nikon G-250) のスリット上に集光し、光電子増倍管 (Hamamatsu R-955)，デジタルオシロスコープ (HP54111D) で観測し、その信号のピーク値を測定した。

$\text{CF}_2$  ラジカルの基底状態  $\tilde{X}(0, 0, 0)$  を励起状態  $\tilde{A}(0, 2, 0)$  へ励起するのに波長 261.7 nm<sup>16)</sup>、出力 0.1 mJ/pulse のレーザービームを用いた。 $\text{CF}_2$  ラジカル密度は  $\tilde{A}(0, 2, 0)$  から  $\tilde{X}(0, 2, 0)$  へ遷移する 271.0 nm のバンドの LIF 強度から決定された。

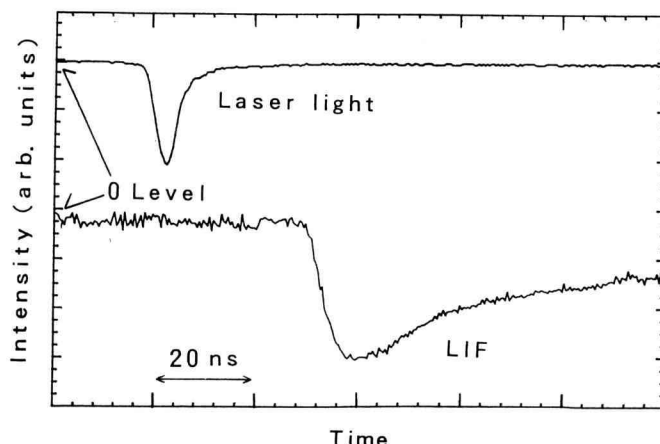


Fig. 2. Observed waveform of LIF signal of  $\text{CF}_2$  radical at 271.0 nm averaged over 64 laser shots, at the  $\text{CF}_4$  pressure of 0.2 Torr, discharge current of 200 mA and flow rate of 20 sccm. Also shown is a temporal profile of excitation laser pulse at 261.7 nm.

### 3. 実験結果と考察

Fig. 2 は  $\text{CF}_4$  壓力 0.2 Torr, 流量 20 sccm, 電流 200 mA のとき 271 nm  $\text{CF}_2$  ラジカルの LIF 信号波形の一例を示したものである。また 261.7 nm 励起用レーザーパルス波形も一緒に示している。LIF 信号はレーザーパルスより約 30 ns 遅れている。この遅れ時間は測定回路によるものである。放電励起遮断後の LIF 信号の時間変化を測定するときこの遅れを考慮して測定した。LIF 信号はレーザー励起とともに立上がり、レーザーパルスの終端付近でピークを持ち、その後指数関数的に減少している。

Fig. 3 は一例として  $\text{CF}_4$  壓力 0.2 Torr, 電流 200 mA, 流量 20 sccm のとき  $t=0$  で放電を開始し、0.5 ms で放電を遮断した後の  $\text{CF}_2$  ラジカルの LIF 強度(相対密度)のプロファイルを示したものである。 $\text{CF}_2$  ラジカルは励起遮断後ゆっくり 0 レベルへ減少する。

Fig. 4 は Fig. 3 の  $\text{CF}_2$  ラジカル密度の減衰部を片対数上に描いたものである。減衰曲線は直線で示され、

single-exponential 関数で与えられる。我々の実験条件下では観測されたすべての減衰曲線は、single-exponential 関数で近似できた。 $\text{CF}_2$  ラジカルの寿命は減衰部の時定数から得ることができる。

Booth 等は、我々と同じ LIF 法を用いて rf  $\text{CF}_4$  プラズマでのパルス励起後の  $\text{CF}_2$ ,  $\text{CF}$  ラジカル密度の時間変化を測定した<sup>11)</sup>。その結果  $\text{CF}_2$ ,  $\text{CF}$  ラジカル密度の減衰曲線は single-exponential 関数に近似できることから、 $\text{CF}_2$ ,  $\text{CF}$  ラジカルの主要な損失過程は管壁への拡散によることを示している。

ところで放電励起遮断後、電子が存在するため電子衝突による解離等で  $\text{CF}_2$  ラジカルを発生し、 $\text{CF}_2$  ラジカル密度に影響を与えることが考えられる。 $\text{CF}_4$  プラズマ中の  $\text{CF}_2$  ラジカルは  $\text{CF}_4$  分子または  $\text{CF}_3$  ラジカルとの電子衝突解離により生成される<sup>17)</sup>。 $\text{CF}_3$  の解離には 12.5 eV 以上の高い電子エネルギーを必要とする。 $\text{CF}_4$  放電中のアフターグロー領域の電子温度は電子が  $\text{CF}_4$  分子との弾性衝突と回転・振動励起の非弾性衝突によってエネルギーを失うものであるから、非常に短い時間で室温近くになる。そのためアフターグロー領域での  $\text{CF}_4$  または  $\text{CF}_3$  ラジカルの電子衝突解離からの  $\text{CF}_2$  ラジカルの生成は無視できる。

アフターグローでは  $\text{CF}_4$  プラズマ内の  $\text{CF}_2$  ラジカルの主要な消滅過程は壁への拡散と  $\text{CF}_4$  分子との反応過程が考えられる。したがって  $\text{CF}_2$  ラジカル密度の時間的変化は次式で与えられる。

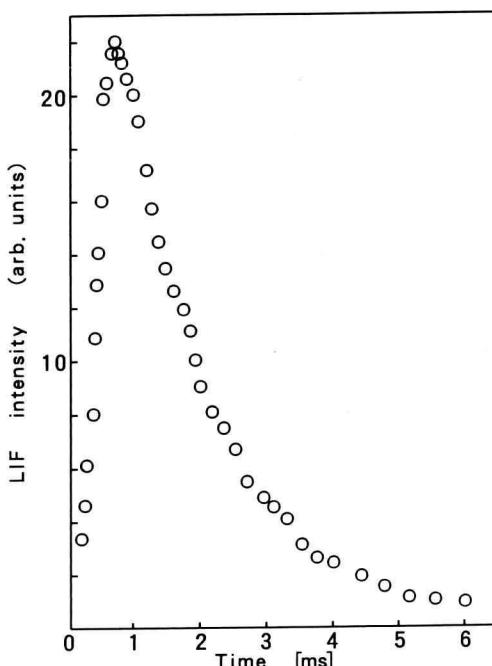


Fig. 3. Decay profile of  $\text{CF}_2$  radical density from 0.5 ms discharge in  $\text{CF}_4$  turned on at  $t=0$ .  $\text{CF}_4$  pressure, 0.2 Torr; discharge current, 200 mA; flow rate, 20 sccm.

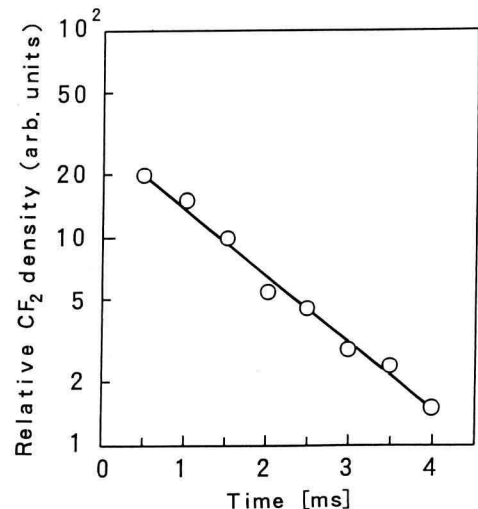


Fig. 4. Semi-log plot of decay part of  $\text{CF}_2$  radical density shown in figure 3.

$$\frac{\partial N}{\partial t} = \frac{D}{P} \nabla^2 N - APN \quad (1)$$

ここで  $N$  は  $\text{CF}_2$  ラジカル密度,  $D$  は 1 Torr 中の拡散係数,  $P$  は  $\text{CF}_4$  壓力,  $A$  は 1 Torr 中の  $\text{CF}_4$  分子による反応速度定数である。いま  $\text{CF}_2$  ラジカル密度の径方向分布が 0 次のベッセル関数に従うと仮定すると、式(1)の解は次式となる。

$$N = N_0 \exp\left(-\frac{t}{\tau}\right) \quad (2)$$

ただし

$$\frac{1}{\tau} = \frac{D}{PA^2} + AP \quad (3)$$

ここで  $N_0$  は励起遮断時  $t=0$  における  $\text{CF}_2$  ラジカル密度,  $\tau$  は  $\text{CF}_2$  ラジカルの寿命,  $A$  はセルの拡散長で、半径  $R$ , 長さ  $L$  の円筒形に対し

$$A = [(\pi/L)^2 + (2.4/R)^2]^{-\frac{1}{2}}$$

圧力, セルの寸法の関数として減衰割合  $1/\tau$  の測定から  $D$  と  $A$  を求めることができる。

Fig. 5 は  $\text{CF}_4$  壓力の関数として  $\text{CF}_2$  ラジカルの寿命をプロットしたものである。寿命は  $\text{CF}_4$  壓力とともに直線的に増加した。この直線的な増加は式(3)の反

応による項  $AP$  が拡散による項  $D/PA^2$  よりかなり小さいことを示し、Fig. 5 の条件下で式(3)の第2項は無視できることを意味している。したがって拡散過程が  $\text{CF}_2$  ラジカルの主要な損失過程となる。式(3)から  $\text{CF}_4$  プラズマ中の寿命  $\tau$  は次式のように示される。

$$\tau = \frac{PA^2}{D} \quad (4)$$

Fig. 5 の直線の傾きから室温において拡散係数は、 $D = 65 \text{ cm}^2 \cdot \text{Torr} \cdot \text{s}^{-1}$  が得られた。Booth 等<sup>11)</sup> は Ar 中の  $\text{CF}_2$  の拡散係数の値<sup>14)</sup> から  $\text{CF}_4$  中の  $\text{CF}_2$  の拡散係数がほぼ  $60 \text{ cm}^2 \cdot \text{Torr} \cdot \text{s}^{-1}$  と評価している。この値は我々の測定結果とほぼ一致している。

#### 4. あとがき

LIF を用いてアフターグロー領域での  $\text{CF}_2$  ラジカル密度の減衰を測定し、 $\text{CF}_4$  プラズマ中の  $\text{CF}_2$  ラジカルの拡散係数が決定された。その値は室温で  $65 \text{ cm}^2 \cdot \text{Torr} \cdot \text{s}^{-1}$  であることがわかった。

終りに実験に従事した当研究室の平成 4 年度卒業研究生の諸君に対し感謝の意を表する。

#### 参考文献

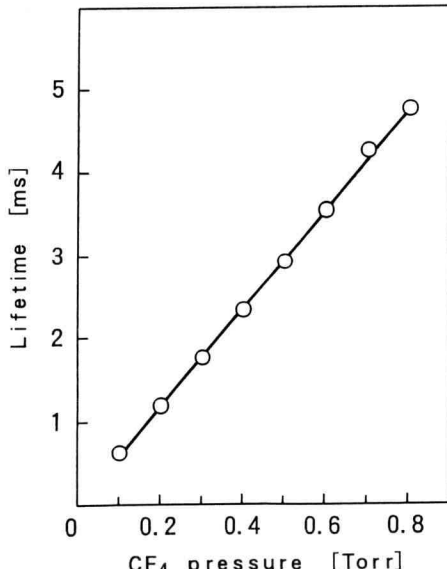


Fig. 5. Lifetime of  $\text{CF}_2$  radical as a function of  $\text{CF}_4$  pressure at discharge current of 200 mA and flow rate of 20 sccm.

- 1) B.N. Chapman : *Glow Discharge Processes* (John Wiley 1980).
- 2) W.R. Harshbarger, R.A. Porter, T.A. Miller and P. Norton : *Appl. Spectrosc.* **31** (1977) 201.
- 3) R. d'Agostino, F. Cramarossa, S. De Benedictis and G. Ferraro : *J. Appl. Phys.* **52** (1981) 1259.
- 4) M.M. Millard and E. Kay : *J. Electrochem. Soc.* **129** (1982) 160.
- 5) R.A. Gottscho and V.M. Donnelly : *J. Appl. Phys.* **56** (1984) 245.
- 6) R.A. Gottscho and T.A. Miller : *Pure Appl. Chem.* **56** (1984) 189.
- 7) P.J. Hargis and M.J. Kushner : *Appl. Phys. Lett.* **40** (1982) 779.
- 8) K. Ninomiya, K. Suzuki, S. Nishimatsu and O. Okada : *J. Vac. Sci. & Technol. A4* (1986) 1791.
- 9) J.P. Booth, G. Hancock and N.D. Perry : *Appl. Phys. Lett.* **50** (1987) 318.
- 10) S.G. Hansen, G. Luckman and S.D. Colson : *Appl. Phys. Lett.* **53** (1988) 1588.

- 11) J.P. Booth, G. Hancock, N.D. Perry and M.J. Toogood : *J. Appl. Phys.* **66** (1989) 5251.
- 12) S.G. Hansen and G. Luckman : *Appl. Phys. Lett.* **56** (1990) 719.
- 13) L.M. Buchmann, F. Heinrich, P. Hoffmann and J. Janes : *J. Appl. Phys.* **67** (1990) 3635.
- 14) S.E. Bialkowski, D.S. King and J.C. Stephenson : *J. Chem. Phys.* **72** (1980) 1156.
- 15) M. Magane, N. Itabashi, N. Nishiwaki, T. Goto, C. Yamada and E. Hirota : *Jpn. J. Appl. Phys.* **29** (1990) L829.
- 16) D.S. King, P.K. Schenke and J.C. Stephenson : *J. Mol. Spectrosc.* **78** (1979) 1.
- 17) I.C. Plumb and K.R. Ryan : *Plasma Chem. Plasma Process.* **6** (1986) 205.